

出力フィードバックによるフォーメーション

2009SE075 井上陽介 2009SE116 桔梗祐太 2009SE256 下出拓弥

指導教員：市川 朗

1 はじめに

本研究では出力フィードバックを用いて円軌道上の主衛星とその近傍の従衛星のフォーメーションについて考える．円軌道上の主衛星とその近傍の従衛星の相対運動の方程式は、時不変非線形微分方程式で与えられる．原点で線形化した方程式は Hill-Clohessy-Wiltshire 方程式とよばれ、軌道面内の運動は楕円で表される周期解をもつ．軌道面外の運動は単振動の方程式により表される．状態フィードバック制御を用いた人工衛星の制御は、全ての状態が観測可能であるという条件があるが、状態が一部不可能な場合もある．この場合、出力フィードバックを用いて制御を行う．

人工衛星の操作量と観測量から状態変数を推定するオブザーバーを使った出力フィードバック制御を用いて、フォーメーション形成・再構成問題を定式化する．ここでの評価関数は燃料消費を表す総速度変化とする．10 周期程度で収束するフィードバックゲインとオブザーバゲインを求めて、状態フィードバックに近い制御を行うことを目標とする．なお、人工衛星が目標軌道に収束する条件をストップングルールとする．

2 相対運動の方程式

半径 R_0 の円軌道上の主衛星とその近傍の従衛星の相対運動を考えるため、主衛星の重心を原点とする図 1 の回転座標系 $o - \{i, j, k\}$ を考える．

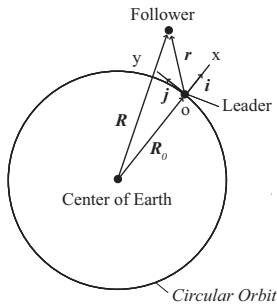


図 1 円軌道上の主衛星

地球と人工衛星の間に働く万有引力は

$$m\ddot{\mathbf{R}} = -\frac{GMm}{R^3}\mathbf{R} \quad (1)$$

と表される．ここで、 m は人工衛星の質量、 M は地球の質量、 G は万有引力定数、 \mathbf{R} は地球の中心から人工衛星 (図 1 での従衛星) までの位置ベクトルを示す．(1) 式から

m を消去し、地球の重力定数 $\mu = GM$ を代入すると、

$$\ddot{\mathbf{R}} = -\frac{\mu}{R^3}\mathbf{R} \quad (2)$$

となる． x, y, z 方向の単位ベクトルをそれぞれ i, j, k 、主衛星から従衛星への位置ベクトルを \mathbf{r} 、地球の中心から主衛星への位置ベクトルを $\mathbf{R}_0 = R_0\mathbf{i}$ 、とすると、図 1 より

$$\mathbf{r} = x\mathbf{i} + y\mathbf{j} + z\mathbf{k}$$

$$\mathbf{R} = \mathbf{R}_0 + \mathbf{r} = (R_0 + x)\mathbf{i} + y\mathbf{j} + z\mathbf{k}$$

が導出できる．角速度を n とすると、単位ベクトル i, j, k は

$$\dot{\mathbf{i}} = n\mathbf{j}$$

$$\dot{\mathbf{j}} = -n\mathbf{i}$$

$$\dot{\mathbf{k}} = 0$$

と表される． \mathbf{R} を時間 t で 2 回微分した式は

$$\ddot{\mathbf{R}} = [\ddot{x} - 2n\dot{y} - n^2(R_0 + x)]\mathbf{i} + (\ddot{y} + 2n\dot{x} - n^2y)\mathbf{j} + \ddot{z}\mathbf{k} \quad (3)$$

となる．

ここで、(2) 式に従衛星に働く推力 $\mathbf{u} = [u_x, u_y, u_z]^T$ を含めた次式

$$\ddot{\mathbf{R}} = -\frac{\mu}{R^3}\mathbf{R} + \mathbf{u} \quad (4)$$

を考える．推力のベクトル $\mathbf{u} = u_x\mathbf{i} + u_y\mathbf{j} + u_z\mathbf{k}$ として、式 (3) と式 (4) を単位ベクトル i, j, k で係数比較すると、

$$\ddot{x} = 2n\dot{y} + n^2(R_0 + x) - \frac{\mu}{R^3}(R_0 + x) + u_x$$

$$\ddot{y} = -2n\dot{x} + n^2y - \frac{\mu}{R^3}y + u_y \quad (5)$$

$$\ddot{z} = -\frac{\mu}{R^3}z + u_z$$

が得られる．(5) 式を原点 $x = y = z = 0$ で線形化すると

$$\ddot{x} - 2n\dot{y} - 3n^2x = u_x$$

$$\ddot{y} + 2n\dot{x} = u_y$$

$$\ddot{z} + n^2z = u_z \quad (6)$$

となる．(6) 式は Hill-Clohessy-Wiltshire(HCW) 方程式とよばれる．推力を $\mathbf{u} = 0$ 、初期値を $[x_0 \ y_0 \ \dot{x}_0 \ \dot{y}_0]^T$ とする面内運動の解は

$$x(t) = 4x_0 + \frac{2\dot{y}_0}{n} - \left(3x_0 + \frac{2\dot{y}_0}{n}\right) \cos nt + \frac{\dot{x}_0}{n} \sin nt$$

$$y(t) = y_0 - \frac{2\dot{x}_0}{n} + \frac{2\dot{x}_0}{n} \cos nt + \left(6x_0 + \frac{4\dot{y}_0}{n}\right) \sin nt$$

$$- (6nx_0 + 3\dot{y}_0)t$$

$$\dot{x}(t) = \dot{x}_0 \cos nt + (3nx_0 + 2\dot{y}_0) \sin nt$$

$$\dot{y}(t) = (6nx_0 + 4\dot{y}_0) \cos nt - 2\dot{x}_0 \sin nt - (6nx_0 + 3\dot{y}_0) \quad (7)$$

で与えられる [3][5]. 初期値を $[z_0 \dot{z}_0]^T$ とする面外運動の解は

$$\begin{aligned} z(t) &= z_0 \cos nt + \frac{\dot{z}_0}{n} \sin nt \\ \dot{z}(t) &= -nz_0 \sin nt + \dot{z}_0 \cos nt \end{aligned} \quad (8)$$

であり, 周期解となる. (7) 式, (8) 式の解をパラメータ表現すると

$$\begin{aligned} x(t) &= 2c + a \cos(nt + \alpha), \\ y(t) &= d - 3nct - 2a \sin(nt + \alpha), \\ z(t) &= b \cos(nt + \beta). \end{aligned} \quad (9)$$

ここで,

$$\begin{aligned} a &= \left[(3x_0 + \frac{2\dot{y}_0}{n})^2 + \frac{\dot{x}_0^2}{n} \right]^{\frac{1}{2}}, \quad b = [z_0^2 + \frac{\dot{z}_0^2}{n}]^{\frac{1}{2}} \\ c &= 2x_0 + \frac{\dot{y}_0}{n}, \quad d = y_0 - \frac{2\dot{x}_0}{n} \\ \sin \alpha &= -\frac{\dot{x}_0}{na}, \quad \cos \alpha = -\frac{3x_0 + \frac{2\dot{y}_0}{n}}{a} \\ \sin \beta &= -\frac{\dot{z}_0}{nb}, \quad \cos \beta = \frac{z_0}{b} \end{aligned}$$

より, 面内運動は $c = 2x_0 + \frac{\dot{y}_0}{n} = 0$ のとき周期解となり, この条件を CW 条件という. 次に

$$\begin{aligned} \mu &= 398600[\text{N}], \quad R_e = 6.39 \times 10^3[\text{km}] \\ R_0 &= R_e + 400[\text{km}] \end{aligned}$$

とおくと, n は

$$n = \sqrt{\frac{\mu}{R_0^3}} = 1.1 \times 10^{-3}[\text{km/s}^2]$$

と表される [1][2].

一般に状態空間表現は

$$\begin{aligned} \dot{\mathbf{x}} &= \mathbf{A}\mathbf{x} + \mathbf{B}\mathbf{u}, \quad \mathbf{x}(0) = \mathbf{x}_0 \\ \mathbf{y} &= \mathbf{C}\mathbf{x} \end{aligned} \quad (10)$$

で表される. (6) 式を, (10) 式で表すと行列 $\mathbf{A}, \mathbf{B}, \mathbf{C}$ は

$$\begin{aligned} \mathbf{A} &= \begin{bmatrix} 0 & 0 & 1 & 0 & 0 & 0 \\ 0 & 0 & 0 & 1 & 0 & 0 \\ 3n^2 & 0 & 0 & 2n & 0 & 0 \\ 0 & 0 & -2n & 0 & 0 & 0 \\ 0 & 0 & 0 & 0 & 0 & 1 \\ 0 & 0 & 0 & 0 & -n^2 & 0 \end{bmatrix} \\ \mathbf{B} &= \begin{bmatrix} 0 & 0 & 0 \\ 0 & 0 & 0 \\ 1 & 0 & 0 \\ 0 & 1 & 0 \\ 0 & 0 & 0 \\ 0 & 0 & 1 \end{bmatrix}, \quad \mathbf{C} = \begin{bmatrix} 1 & 0 & 0 & 0 & 0 & 0 \\ 0 & 1 & 0 & 0 & 0 & 0 \\ 0 & 0 & 0 & 0 & 1 & 0 \end{bmatrix} \end{aligned}$$

となる. 次に出力フィードバック制御について考える. 観測値 \mathbf{y} に基づく状態の推定を考える. 推定システムを元のシステムである (10) 式を模倣した動的システム

$$\dot{\hat{\mathbf{x}}} = \mathbf{A}\hat{\mathbf{x}} + \mathbf{B}\mathbf{u} + \mathbf{H}(\mathbf{y} - \mathbf{C}\hat{\mathbf{x}}) \quad (11)$$

とする. このときの推定誤差を $\mathbf{e} = \mathbf{x} - \hat{\mathbf{x}}$ とすると

$$\dot{\mathbf{e}} = (\mathbf{A} - \mathbf{H}\mathbf{C})\mathbf{e} \quad (12)$$

となる. $\mathbf{A} - \mathbf{H}\mathbf{C}$ が安定であるとき, $\mathbf{e}(t)$ は漸的に 0 に収束する. このとき推定システムをオブザーバー (状態観測器) といい, \mathbf{H} をオブザーバーゲインという.

ここで, $\mathbf{u} = -\mathbf{K}\hat{\mathbf{x}}$ として, 式 (10) に代入すると

$$\dot{\mathbf{x}} = \mathbf{A}\mathbf{x} - \mathbf{B}\mathbf{K}\hat{\mathbf{x}}. \quad (13)$$

$\hat{\mathbf{x}} = \mathbf{x} - \mathbf{e}$ より, 式 (13) に代入して変形すると

$$\dot{\mathbf{x}} = (\mathbf{A} - \mathbf{B}\mathbf{K})\mathbf{x} + \mathbf{B}\mathbf{K}\mathbf{e}. \quad (14)$$

式 (12) と式 (14) を拡大行列系で表すと

$$\begin{pmatrix} \dot{\mathbf{x}} \\ \dot{\mathbf{e}} \end{pmatrix} = \begin{pmatrix} \mathbf{A} - \mathbf{B}\mathbf{K} & \mathbf{B}\mathbf{K} \\ \mathbf{O} & \mathbf{A} - \mathbf{H}\mathbf{C} \end{pmatrix} \begin{pmatrix} \mathbf{x} \\ \mathbf{e} \end{pmatrix}$$

この系の固有値は $\sigma(\mathbf{A} - \mathbf{B}\mathbf{K}) \cup \sigma(\mathbf{A} - \mathbf{H}\mathbf{C})$ であるから安定となる. 出力フィードバックによって安定化を行うには状態フィードバック \mathbf{K} とオブザーバーゲイン \mathbf{H} を独立に設計すればよい. これを安定化補償器 (制御器) 設計の分離原理という. オブザーバーと元のシステムの次元が同じであるとき同次元オブザーバーという.

3 状態フィードバックの安定化

10 周期前後で収束するフィードバックゲイン \mathbf{K} を求める. (9) 式に

$$a = 5, b = 1, c = 0, d = 0$$

を代入して, システムの初期値 \mathbf{x}_0 を

$$\mathbf{x}_0 = \begin{bmatrix} 5 \cos \alpha \\ -10 \sin \alpha \\ -5.50 \times 10^{-3} \sin \alpha \\ -5.50 \times 10^{-3} - 1.10 \times 10^{-2} \cos \alpha \\ -1.10 \times 10^{-2} \cos \beta \\ -1.10 \times 10^{-3} \sin \beta \end{bmatrix}$$

とする. ここで, α は初期値を定める角度であり, この α を $\frac{\pi}{2}$ ごとに変えていく. β は面外運動の座標を決める任意の角度である. 目標軌道 \mathbf{x}_f の初期値は

$$a = 0.5, b = 0$$

とおき

$$\mathbf{x}_f = \begin{bmatrix} \frac{1}{2} \cos \alpha \\ -\sin \alpha \\ -5.50 \times 10^{-4} \sin \alpha \\ -1.10 \times 10^{-3} \cos \alpha \\ 0 \\ 0 \end{bmatrix}$$

に設定する. $\dot{\mathbf{x}}_f$ の方程式は

$$\dot{\mathbf{x}}_f = \mathbf{A}\mathbf{x}_f, \mathbf{x}_f(0) = \mathbf{x}_{f0} \quad (15)$$

となる。目標軌道とシステムの誤差を $e_1 = x - x_f$ とすると $\dot{e}_1 = \dot{x} - \dot{x}_f$ となり、式(10)の \dot{x} と式(15)から

$$\dot{e}_1 = Ae_1 + Bu$$

となる。制御入力 u を

$$u = -K(x - x_f) = -Ke_1$$

とし、フォーメーションを行う。

$A - BK$ を安定化させるため、最適レギュレータのリッカチ方程式を解く。

$$\begin{aligned} A^T X + XA + Q - XBR^{-1}B^T X &= 0 \\ K &= R^{-1}B^T X \end{aligned} \quad (16)$$

(16) 式はフィードバックゲイン K を与えるリッカチ方程式である。 (A, B) が可制御のとき、安定となるフィードバックゲイン K を求めることができる。この時のフィードバックゲイン K の設計を $Q = 10^{-7}I$ に固定し、操作量の重み $R = 10^r I$ の r を 4 から 8 まで 0.125 刻みで動かして設計する。ストップルールを「目標軌道と人工衛星との誤差が時刻刻みで 3 回連続 10^{-2} 以下に収まったら収束した」と決める。 $\alpha = 0$ 及び $\alpha = \pi$ のときの L_1 ノルムのシミュレーション結果を図 2,3 に、整定時間 st のシミュレーション結果を図 4,5 に表示する。

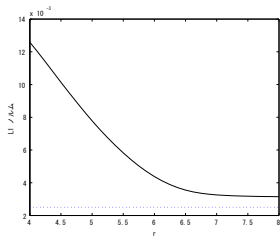


図 2 L_1 ノルム ($\alpha = 0$)

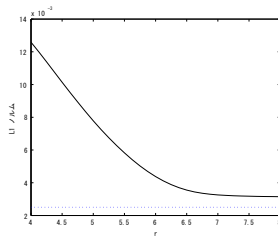


図 3 L_1 ノルム ($\alpha = \pi$)

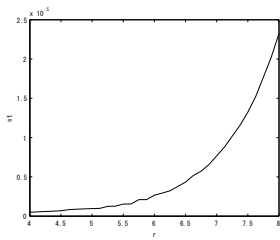


図 4 $st(\alpha = 0)$

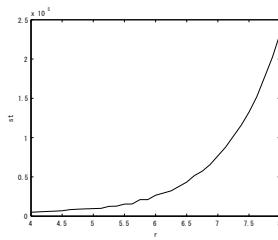


図 5 $st(\alpha = \pi)$

L_1 ノルムは燃料消費を表す評価関数であり、単調に減少していく [2][5]。 r を大きくすることで、操作量が過大でないことを表す。4 つの図を見ると、 $\alpha = 0$ と $\alpha = \pi$ のときのグラフはほぼ一致していることがわかる。図 4,5 から、10 周期近くで収束する st の値

$$st = 5.73 \times 10^4 [\text{s}]$$

となり $r = 6.75$ のときに得られた。図 2,3 から L_1 ノルムは

$$L_1 = 3.36 [\text{m/s}]$$

となった。 α の角度がちょうど π だけずれており、反対側から目標軌道までの楕円運動を同じ距離で行うので、 r, st, L_1 ノルムが同じ値になった。

また、 $\alpha = \frac{\pi}{2}$ 及び $\alpha = \frac{3\pi}{2}$ のときの L_1 ノルムのシミュレーション結果を図 6,7 に、整定時間 st のシミュレーション結果を図 8,9 に表示する。

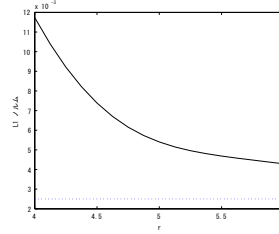


図 6 L_1 ノルム ($\alpha = \frac{\pi}{2}$)

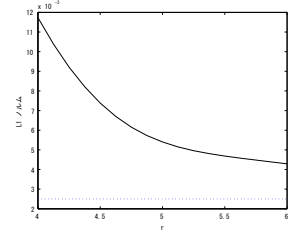


図 7 L_1 ノルム ($\alpha = \frac{3\pi}{2}$)

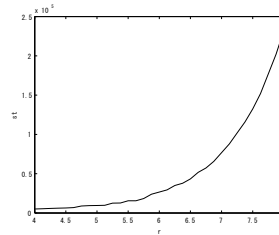


図 8 $st(\alpha = \frac{\pi}{2})$

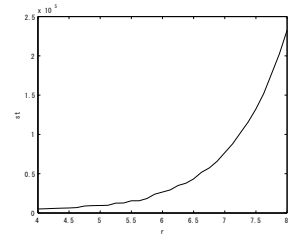


図 9 $st(\alpha = \frac{3\pi}{2})$

$\alpha = \frac{\pi}{2}$ と $\alpha = \frac{3\pi}{2}$ のときのグラフもほぼ一致している。10 周期前後で収束する st の値は図 8,9 から

$$st = 5.73 \times 10^4 [\text{s}]$$

となり、 $r = 6.75$ のときに得られた。図 6,7 から L_1 ノルムは

$$L_1 = 3.70 [\text{m/s}]$$

となった。楕円運動で $\frac{\pi}{2}$ ずれると目標軌道までの距離が変わり、 $\alpha = 0, \pi$ のときと比べて L_1 ノルムの値も小さいので、 $\alpha = \frac{\pi}{2}, \frac{3\pi}{2}$ のときの方が距離が小さいと分かる。よって、初期軌道から目標軌道までの面内運動の移動距離は $\alpha = 0, \pi$ のときが最も長く、 $\alpha = \frac{\pi}{2}, \frac{3\pi}{2}$ のときが最も短いと言える。角度 α の各値から r を決定したことにより一意に Q と R が得られたので、(16) 式からフィードバックゲインは

$$K = \begin{bmatrix} 9.29e-7 & -8.72e-8 & 3.03e-4 & 3.62e-4 & 6.10e-22 & -6.85e-19 \\ 2.50e-6 & -1.09e-7 & 3.62e-4 & 1.10 & 3.28e-21 & 2.47e-18 \\ 5.31e-21 & -2.80e-22 & -6.85e-19 & 2.47e-18 & 6.96e-9 & 1.18e-4 \end{bmatrix}$$

と定まった。フィードバックゲインの各成分は非常に小さく 0 に近いものとなり、入力も非常に小さい値になっていることが分かる。角度 α が $\alpha = 0, \frac{\pi}{2}, \pi, \frac{3\pi}{2}$ 以外で値をとっても上記のフィードバックゲインをとる。

4 オブザーバーゲインの決定

10 周期近くで収束するオブザーバーゲイン H を決める。目標値は前章の値を使い、オブザーバーの初期値は

元のシステムの速度成分を±10% 変化させたものとして、それぞれ

$$\hat{\mathbf{x}}_{+10\%} = \begin{bmatrix} 5 \cos \alpha \\ -10 \sin \alpha \\ -6.05 \times 10^{-3} \sin \alpha \\ -1.21 \times 10^{-2} \cos \alpha \\ \cos \beta \\ -1.21 \times 10^{-3} \sin \beta \end{bmatrix}$$

$$\hat{\mathbf{x}}_{-10\%} = \begin{bmatrix} 5 \cos \alpha \\ -10 \sin \alpha \\ -4.95 \times 10^{-3} \sin \alpha \\ -9.90 \times 10^{-3} \cos \alpha \\ \cos \beta \\ -9.90 \times 10^{-3} \sin \beta \end{bmatrix}$$

とおく。出力フィードバックと目標軌道の誤差を

$$\mathbf{e}_2 = \hat{\mathbf{x}} - \mathbf{x}_f$$

とすると、

$$\dot{\mathbf{e}}_2 = \mathbf{A}\mathbf{e}_2 + \mathbf{B}\mathbf{u} + \mathbf{H}(\mathbf{y} - \mathbf{C}\hat{\mathbf{x}})$$

となる。出力フィードバック制御の入力を

$$\mathbf{u} = -\mathbf{K}(\hat{\mathbf{x}} - \mathbf{x}_f) = -\mathbf{K}\mathbf{e}_2$$

として、フォーメーションを行う。 $\mathbf{A} - \mathbf{H}\mathbf{C}$ を安定化させるためには、 $\mathbf{A}^T - \mathbf{C}^T\mathbf{H}^T$ を安定化させる最適レギュレータのリッカチ方程式を解けばよい。

$$\begin{aligned} \mathbf{A}\mathbf{Y} + \mathbf{Y}\mathbf{A}^T + \mathbf{Q}_1 - \mathbf{Y}\mathbf{C}^T\mathbf{R}_1^{-1}\mathbf{C}\mathbf{Y} &= 0 \\ \mathbf{H}^T &= \mathbf{R}_1^{-1}\mathbf{C}\mathbf{Y} \end{aligned} \quad (17)$$

(17) 式は \mathbf{Y} を解とする \mathbf{H}^T のリッカチ方程式で、安定となる \mathbf{H}^T から \mathbf{H} を得られる。オブザーバーゲイン \mathbf{H} の設計を $\mathbf{Q}_1 = 10^{-7}\mathbf{I}$ に固定し、操作量の重み $\mathbf{R}_1 = 10^{r_1}\mathbf{I}$ の r_1 を 2 から 9 まで動かして設計する。ストップルールを「人工衛星と目標軌道との差が 10^{-2} 以下に各時刻ごとに 3 回連続で入れば収束した」とみなす。 L_1 ノルムが $4.00[\text{m/s}]$ 以下でかつ状態フィードバックの性能に近づけられたら良いオブザーバーと評価する。初期値の速度成分が 1 割増の場合において、 $\alpha = 0, \pi$ のときの L_1 ノルムのシミュレーション結果を図 10,11 に、整定時間 st のシミュレーション結果を図 12,13 に表示する。

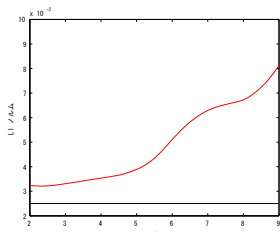


図 10 L_1 ノルム ($\alpha = 0$)

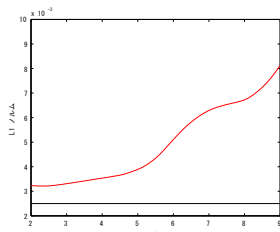


図 11 L_1 ノルム ($\alpha = \pi$)

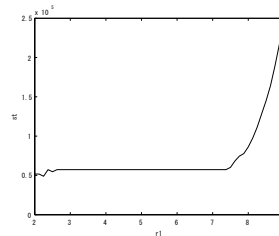


図 12 $st(\alpha = 0)$

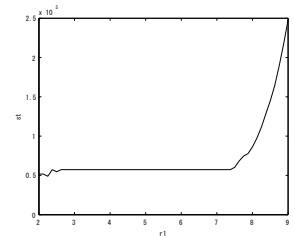


図 13 $st(\alpha = \pi)$

$\alpha = 0$ と $\alpha = \pi$ のグラフはほぼ一致する。図 12, 図 13 より、 r_1 が $2.5 \leq r_1 \leq 7.25$ の範囲なら状態フィードバック制御を用いた場合の st と L_1 ノルムに近い値をとる。図 10,11 より、 L_1 ノルムは $\alpha = 0, \pi$ で誤差が +10% のとき、図 12, 図 13 より、 L_1 ノルムが低い値の r_1 を選ばばよい。

同様に $\alpha = \frac{\pi}{2}, \frac{3\pi}{2}$ のときの L_1 ノルムのシミュレーション結果を図 14,15 に、整定時間 st のシミュレーション結果を図 16,17 に表示する。

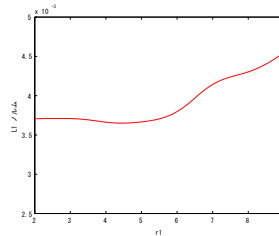


図 14 L_1 ノルム ($\alpha = \frac{\pi}{2}$)

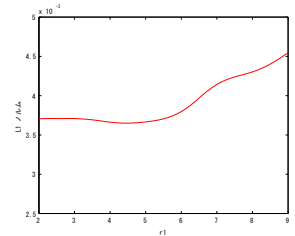


図 15 L_1 ノルム ($\alpha = \frac{3\pi}{2}$)

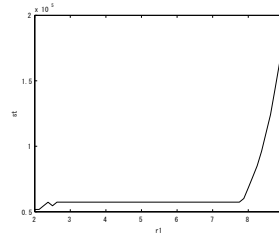


図 16 $st(\alpha = \frac{\pi}{2})$

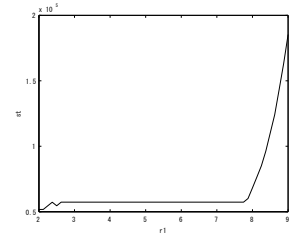


図 17 $st(\alpha = \frac{3\pi}{2})$

$\alpha = \frac{\pi}{2}$ や $\alpha = \frac{3\pi}{2}$ のときのグラフもほぼ同じ形をしている。図 14,15 より、 $\alpha = \frac{\pi}{2}, \frac{3\pi}{2}$ で誤差が -10% のとき、 L_1 ノルムの最小値は

$$\text{最小値} : L_1 = 3.66[\text{m/s}]$$

となる。 $r_1 = 6.75$ のとき $L_1 = 4.00[\text{m/s}]$ より大きくなる。上記のことと図 16,17 より $2.5 \leq r_1 < 6.75$ の範囲の値を選ばばよい。

次に、初期値の速度成分を 1 割減にした場合において、 $\alpha = 0$ 及び $\alpha = \pi$ のときの L_1 ノルムのシミュレーション結果を図 18,19 に表示し、整定時間 st のシミュレーション結果を図 20,21 に表示する。

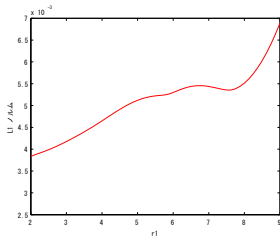


図 18 L_1 ノルム ($\alpha = 0$)

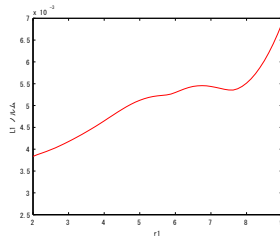


図 19 L_1 ノルム ($\alpha = \pi$)

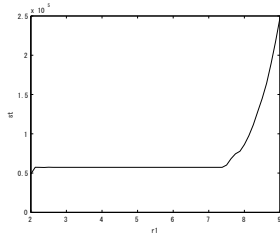


図 20 $st(\alpha = 0)$

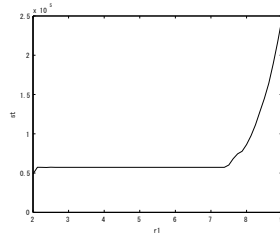


図 21 $st(\alpha = \pi)$

$\alpha = 0$ のときと $\alpha = \pi$ のときのグラフはほとんど一致していることが見られた。図 18,19 より, $\alpha = 0, \pi$ で誤差が-10% のとき, L_1 ノルムが低い値の r_1 を選ばばよい。図 20,21 より, r_1 が $2.12 \leq r_1 \leq 7.37$ の範囲なら状態フィードバック制御を用いた場合の st と L_1 ノルムに近い値をとる。

同様に $\alpha = \frac{\pi}{2}, \frac{3\pi}{2}$ の場合における L_1 ノルムのシミュレーション結果を図 22,23 に, 整定時間 st のシミュレーション結果を図 24,25 に表示する。

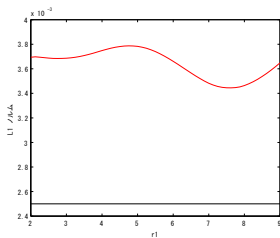


図 22 L_1 ノルム ($\alpha = \frac{\pi}{2}$)

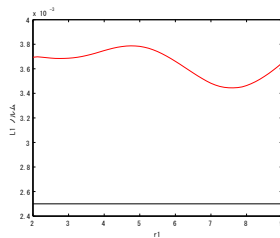


図 23 L_1 ノルム ($\alpha = \frac{3\pi}{2}$)

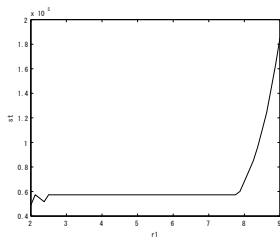


図 24 $st(\alpha = \frac{\pi}{2})$

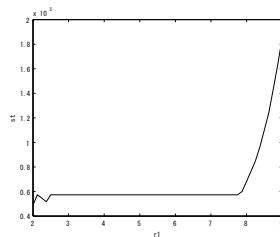


図 25 $st(\alpha = \frac{3\pi}{2})$

$\alpha = \frac{\pi}{2}$ と $\alpha = \frac{3\pi}{2}$ のグラフも形はほぼ同じになった。図 22,23 より, $\alpha_1 = \frac{\pi}{2}, \frac{3\pi}{2}$ で誤差が+10% のとき, L_1 ノルムの最小値, 最大値は

$$\text{最小値} : L_1 = 3.45[\text{m/s}]$$

$$\text{最大値} : L_1 = 3.79[\text{m/s}]$$

となり, L_1 ノルムの誤差の範囲内なので図 24,25 より, $2.5 \leq r_1 \leq 7.75$ の範囲の値を選べばよい。角度 α による L_1 ノルムの値から, 目標までの楕円軌道の運動をする人工衛星の移動距離は, $\alpha = 0, \pi$ のときが最短になり, $\alpha = \frac{\pi}{2}, \frac{3\pi}{2}$ のときが最長になることが分かった。 $\alpha = 0, \frac{\pi}{2}, \pi, \frac{3\pi}{2}$ のどの点からも収束する H の設計をしたいので $r_1 = 2.5$ のときにどの点でも $L_1 = 4.07[\text{m/s}]$ を下回り, 状態フィードバック制御を用いたときの st に近い値をとる r_1 の値は

$$r_1 = 2.5$$

となる。 $r_1 = 2.5$ のときの L_1 ノルムと整定時間 st は以下の表のようになる。

表 1 $\pm 10\%$ の比較

α	誤差	r_1	L_1	st
$0, \pi$	-10%	2.5	3.99[m/s]	$5.74 \times 10^4[\text{s}]$
$0, \pi$	+10%	2.5	3.22[m/s]	$5.42 \times 10^4[\text{s}]$
$\frac{\pi}{2}, \frac{3\pi}{2}$	-10%	2.5	3.69[m/s]	$5.74 \times 10^4[\text{s}]$
$\frac{\pi}{2}, \frac{3\pi}{2}$	+10%	2.5	3.71[m/s]	$5.46 \times 10^4[\text{s}]$

以上の表より $\alpha = 0, \frac{\pi}{2}, \pi, \frac{3\pi}{2}$ のどの点からも収束する r_1 は $r_1 = 2.5$ となる。そのときのオブザーバーゲイン H は

$$H = \begin{bmatrix} 0.64e-1 & -1.24e-4 & -9.28e-19 \\ -1.24e-4 & 5.80e-3 & 1.17e-20 \\ 2.03e-5 & 6.09e-6 & 2.55e-22 \\ -7.60e-6 & 1.67e-5 & 1.72e-21 \\ -9.28e-19 & 1.73e-20 & 5.80e-3 \\ -5.52e-22 & -9.80e-22 & 1.66e-5 \end{bmatrix}$$

となった。オブザーバーゲインの各値も非常に小さい値が多く, 出力フィードバックの操作量が少ないことが分かった。ただし, L_1 ノルムは 1 割増の方が小さくなったので操作量自体は 1 割増の方が小さくなる。

目標までの楕円軌道運動による移動距離は, L_1 ノルムから $\alpha = 0, \pi$ のときが最長で, $\alpha = \frac{3\pi}{2}, \frac{\pi}{2}$ のときが最短になる。よって, 誤差を含めた $\alpha = 0, \frac{3\pi}{2}, \pi, \frac{\pi}{2}$ 以外のすべての角度 α でも上記のオブザーバーゲインを得られる。

オブザーバーゲインを求める際に初期速度成分を 1 割減しても 1 割増しても L_1 ノルムは $4.00[\text{m/s}]$ 以内に収まり, かつ収束時間も 10 周期前後になったため, どの角度 α でも有効なオブザーバーを用いることができると分かった。

5 出力フィードバックによる軌道制御

前章で得られたフィードバックゲイン K とオブザーバーゲイン H を用いてシミュレーションし軌道制御を行う。1割増にした場合の角度 $\alpha = 0, \frac{3\pi}{2}, \pi, \frac{\pi}{2}$ のときの制御軌道をそれぞれ図 26,27,28,26 に表示する。

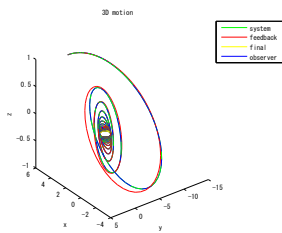


図 26 制御軌道 ($\alpha = 0$)

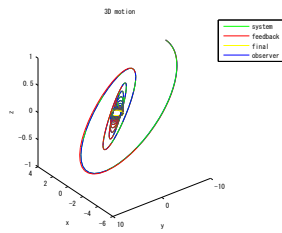


図 27 制御軌道 ($\alpha = \frac{\pi}{2}$)

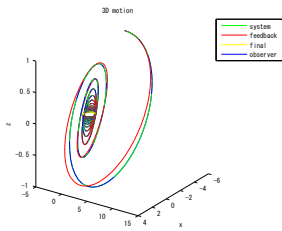


図 28 制御軌道 ($\alpha = \pi$)

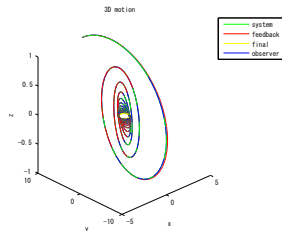


図 29 制御軌道 ($\alpha = \frac{3\pi}{2}$)

図 26,27,28,29 から、状態フィードバック制御と出力フィードバック制御の軌道がほぼ同じであることが分かる。 L_1 ノルムや整定時間の条件を満たしたオブザーバーで軌道修正も状態フィードバックに近似できた。

次に、速度成分を 1 割減にしたものをそれぞれ図 30,31,32,33 に表示する。

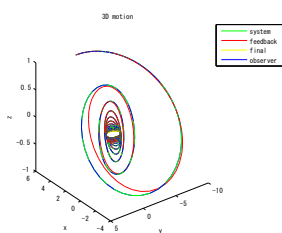


図 30 制御軌道 ($\alpha = 0$)

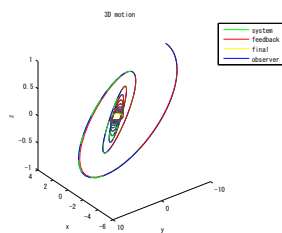


図 31 制御軌道 ($\alpha = \frac{\pi}{2}$)

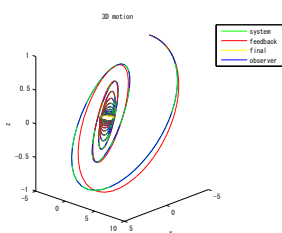


図 32 制御軌道 ($\alpha = \pi$)

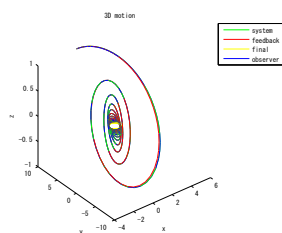


図 33 制御軌道 ($\alpha = \frac{3\pi}{2}$)

こちらも同様に状態フィードバック制御とほぼ同じ軌道を構成することができた。各軌道を見比べると、角度 α で初期位置は異なるものの、目標軌道までの人工衛星の動きも x, y 軸の平面において角度 α だけ異なるものだと分かる。また、初期値の速度成分を誤差の範囲が $\pm 10\%$ 以内なら初期値を変えても r と r_1 の値は変わらず、収束時間が変化するだけで軌道そのものに変化はないと見られた。

誤差がシステムの初期値の速度成分成分に $\pm 10\%$ なら初期値がどこからでも制御できる K と H が決まり、状態フィードバックと同じようにオブザーバーを用いても制御できることが分かった。

6 終わりに

誤差が $\pm 10\%$ 以内ならどこからでも L_1 ノルムが $L_1 = 4.000$ [m/s] 以下で収束するオブザーバーゲインを求め、状態フィードバック制御とオブザーバーを用いた出力フィードバック制御の比較を行った。システムの初期値 \mathbf{x}_0 の α を $\alpha = 0, \frac{\pi}{2}, \pi, \frac{3\pi}{2}$ の 4 点を与え、オブザーバーを用いたシステムの初期値を速度成分に誤差を $\pm 10\%$ に設定し、 L_1 ノルムが $L_1 = 4.00$ [m/s] 以下で収束するオブザーバーゲイン H を求めた。初期値や誤差に関わらず収束させるフィードバックゲイン K の r の値は $r = 6.75$ になった。初期値や誤差に関わらず収束させるオブザーバーゲイン H の r_1 の値は $r_1 = 2.5$ になった。

制御軌道図より、出力フィードバック制御を用いても状態フィードバック制御と同じような軌道を描いているので 4 点の初期値の全てから同じ r_1 を用いて制御でき、 α の値に関わらず誤差が速度成分の $\pm 10\%$ ならオブザーバーを用いた出力フィードバックでも状態フィードバックと同じように制御できる。

参考文献

- [1] M. Bando and A. Ichikawa: Formation Flying Along a Circular Orbit with Control Constraints, Proceedings of AAS/AIAA Astrodynamics Specialist Conference, Alaska, AAS 11-491, 2011.
- [2] A. Ichikawa: Null Controllability with Vanishing Energy for Discrete-Time Systems, Systems & Control Letters, Vol. 57, No. 1, pp. 34-38, 2008.
- [3] A. Ichikawa: Recent Developments in Formation Flying, Lecture Notes ver.1, 2010.
- [4] R. Jifuku, A. Ichikawa and M. Bando: Satellite Formation by Pulse Control Along a Circular Orbit, Journal of Guidance, Control, and Dynamics, Vol. 34, No. 5, pp. 1329-1341, 2011.
- [5] M. Shibata and A. Ichikawa: Orbital Rendezvous and Flyaround Based on Null controllability with Vanishing Energy, Journal of Guidance, Control, and Dynamics, Vol. 30, No. 4, pp. 934-945, 2007.